

CARACTÉRISATION MOLÉCULAIRE DE LÉSIONS CUTANÉES PRÉCANCÉREUSES: LES KÉRATOSES ACTINIQUES

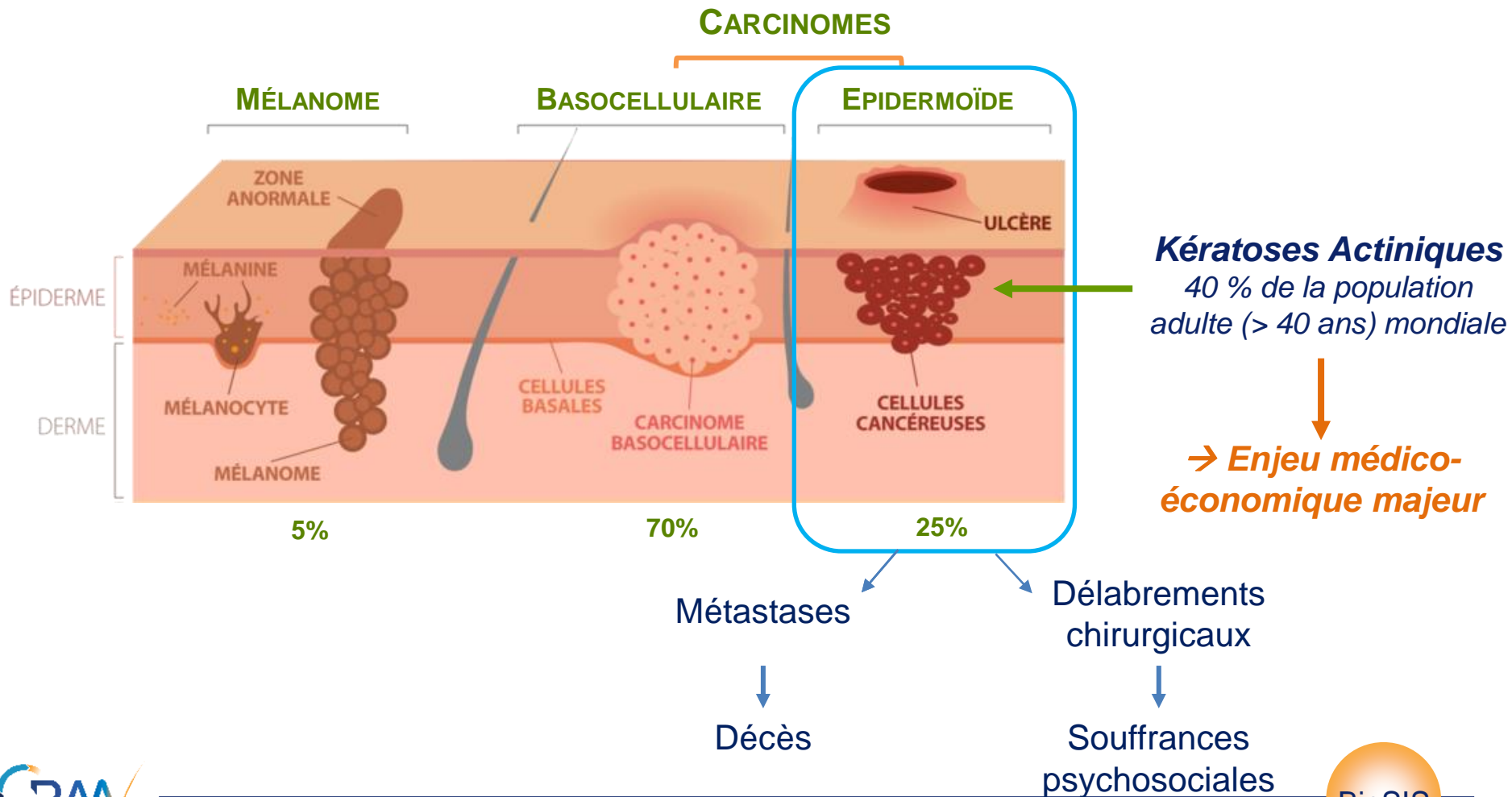
Hélène Dubois-Pot-Schneider (MCU)

UMR 7039-CRAN

Grégoire Khairallah, Cyril Brzenczek, François Plénat,
Frédéric Marchal et Marine Amouroux

1. CONTEXTE CLINIQUE

Cancer de la peau = cancer le plus fréquent (90 000/an; données INCa).
= mélanome + carcinomes cutanés



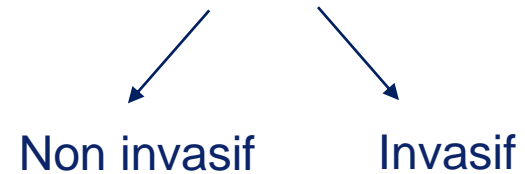
1. CONTEXTE CLINIQUE

C Comportement et prise en charge des KA



Causées en majorité par une exposition solaire chronique

- **Non évolutives** (persistantes/à régression spontanée)
- **Evolutives** → Carcinome épidermoïde cutané



➔ Pas de distinction visuelle entre ces 2 classes de KA.

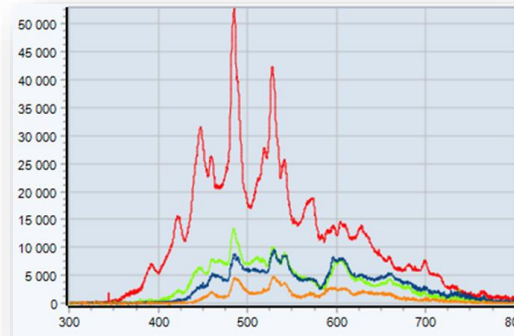
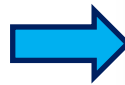
Projet Spectrolive:
Aider à l'orientation diagnostique
des 2 classes de KA par biopsie optique

2. STRATÉGIE

C Spectrolive: aide à l'orientation diagnostique

C Caractérisation tissulaire *in vivo* par approche spectroscopique

DISPOSITIF MÉDICAL
« SPECTROLIVE »
(BREVET WO2017198575)

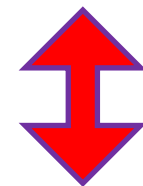


Classification

SAIN
CE → ÉVOLUTIF?
KA → NON ÉVOLUTIF?

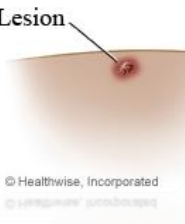
C Caractérisation *ex vivo* par anatomo-pathologie

C Caractérisation *in vitro* par une approche moléculaire

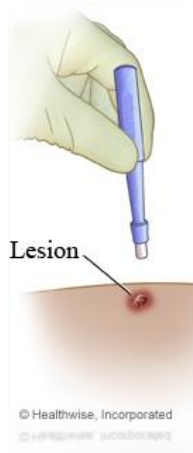


CORRÉLATION

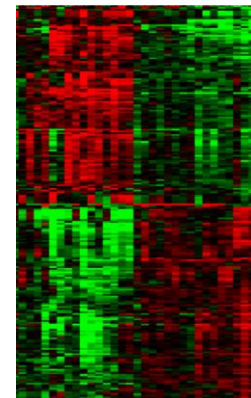
SAIN
CE → ÉVOLUTIF?
KA → NON ÉVOLUTIF?



ESSAI CLINIQUE
« SPECTROLIVE »
(CHR METZ-THONVILLE)



CARTE D'IDENTITÉ MOLÉCULAIRE



Classification



2. STRATÉGIE

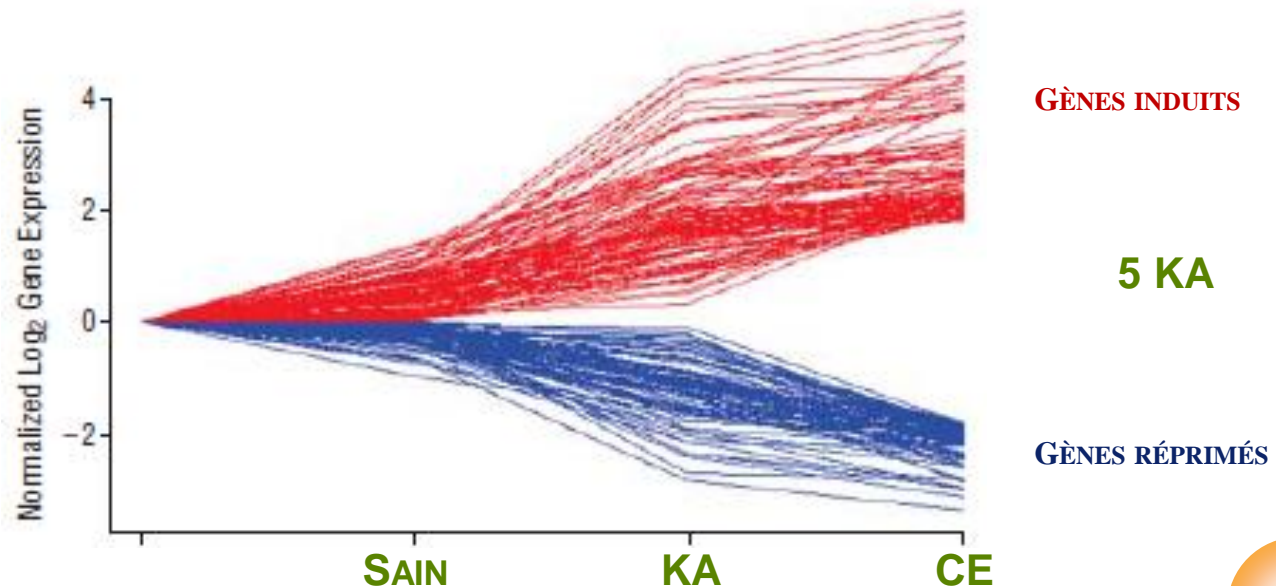
C Approche transcriptomique

C Littérature

Nindli et al. 2006; Padilla et al., 2010 ; Hui Ra et al., 2011; Hameetman et al., 2013; Lambert et al., 2014 ; Mitsui et al., 2014; Chitsazzadeh et al., 2016; Das Mahapatra et al., 2020; Nguyen et al., 2020; Thomson et al., 2020.

C Lacunes

- . Peu d'échantillons par classe (5 à 10)
- . 3 classes histologiques non représentées (sain, KA, CE)
- . KA considérées comme une classe unique



2. STRATÉGIE

C Approche transcriptomique

C Littérature

Nindli et al. 2006; Padilla et al., 2010 ; Hui Ra et al., 2011; Hameetman et al., 2013; Lambert et al., 2014 ; Mitsui et al., 2014; Chitsazzadeh et al., 2016; Das Mahapatra et al., 2020; Nguyen et al., 2020; Thomson et al., 2020.

C Lacunes

- . Peu d'échantillons par classe (5 à 10)
- . 3 classes histologiques non représentées (sain, KA, CE)
- . KA considérées comme une classe unique

C Projet CaMoKA

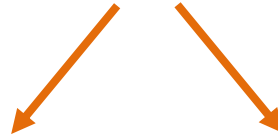
- . Financement 2019: Cancéropôle Est
- . Etude sur plus grand nombre d'échantillons (73 échantillons)



4. CONCLUSIONS/PERSPECTIVES

C Classification des KA

- C Validation du caractère hétérogène de la classe clinique « KA »
- C Mise en évidence de 2 classes de KA



Classification des spectres
(Dispositif SpectroLive)

BIOPSIE OPTIQUE

Validation marqueurs
(ARN/Histologie)

C Mécanismes moléculaires mis en jeu

- C Exploration/Validation des données obtenues – réseaux – upstream regulators
- C Exploration des données miRNAseq (IBSLOR)

Améliorer le diagnostic, limiter les séquelles et améliorer la qualité de vie

5. REMERCIEMENTS

C Personnes impliquées

- C Marine AMOUROUX
- C Cyril BRZENCZEK
- C François PLENAT
- C Frédéric MARCHAL



- C Grégoire KHAIRALLAH



C Collaborations



C Financement

